

09

© 1992

## ЯВЛЕНИЕ АВТОСТАБИЛИЗАЦИИ ЧАСТОТЫ В ГЕНЕРАТОРАХ ДИФРАКЦИОННОГО ИЗЛУЧЕНИЯ

В.Г. К у р и н, Б.К. С к р ы н и к,  
В.П. Ш е с т о п а л о в

При экспериментальном исследовании генераторов дифракционного излучения (ГДИ) обнаружен режим автостабилизации частоты генератора, обусловленный взаимодействием колебаний (волн) в открытом резонаторе (ОР) ГДИ.

Как известно [1], колебательным контуром ГДИ является высокодобротный ОР, составленный из двух зеркал. На одном из них расположена в виде узкой полосы дифракционная решетка (ДР) вдоль которой движется электронный поток. Через щель в зеркале ОР запасенная энергия поступает в нагрузку. Обычно стабилизация частоты генераторов осуществляется воздействием на него внешними высокостабильными источниками и устройствами [2]. В данной работе рассматривается повышение стабильности частоты генераторов на основе явления взаимодействия электромагнитных колебаний [3]. Результаты экспериментов, в которых было впервые зарегистрировано стабилизирующее воздействие явления взаимодействия электромагнитных волн на частоту генератора, были опубликованы в работе [4]. В [4] также приведены оценки условий при выполнении которых в ОР ГДИ наблюдается возбуждение колебаний, способных вступать во взаимодействие.

Полученный дополнительный экспериментальный материал позволил выявить одну из физических моделей морсовской критической точки (МКТ) [5, 6] и на ее основе рассмотреть физические явления, приводящие к повышению или снижению стабильности частоты генератора.

Экспериментальные результаты приведены на рис. 1, где кривые  $f(U_a)$  и  $\rho(U_a)$  представляют соответственно зависимость частоты и выходной мощности от одного напряжения  $U_a$  в зоне электронной перестройки частоты генератора, работающего на согласованную нагрузку. На дисперсионной кривой  $f(U_a)$  видны изгибы, обведенные кружками, и разрывы, отмеченные штриховыми линиями. Такие явления наблюдаются в областях раздвоения колебаний, т.е. когда в ОР ГДИ выполняются условия [4] для возбуждения двух типов колебаний с равными или близкими частотами. При этом такие колебания имеют разные фазовые скорости медленных дифракционных гармоник [1] вдоль ДР, в результате одно из колебаний не взаимодействует с электронным потоком, и возбуждается по причине совпадения частот.

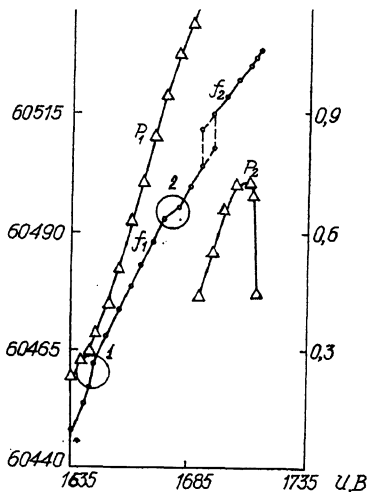


Рис. 1.

Взаимодействие между такими колебаниями и обуславливает появление изгибов на дисперсионной кривой  $f(\omega_\alpha)$ . Совпадение фазовых скоростей медленных дифракционных гармоник приводит к тому, что электронный поток взаимодействует с обоими колебаниями при этом наблюдается изменение выходной мощности, а также перескоки с одного колебания на другое с меньшим пусковым током. На дисперсионной кривой  $f(\omega_\alpha)$  рис. 1 такому событию соответствует скачкообразное изменение частоты  $f_1 \rightarrow f_2$  и выходной мощности  $P_1 \rightarrow P_2$ .

Изгибы спектральной кривой  $f(\omega_\alpha)$  вызывают изменение крутизны электронного смещения частоты  $S_3$ , определяющей степень стабильности частоты генератора. В первой области взаимодействия  $S_3 = 5 \text{ МГц/В}$ , во второй  $S_3 = 0.4 \text{ МГц/В}$ .

Крутизна электронного смещения частоты на дисперсионной кривой между областями взаимодействия 1 и 2 равна  $S_3 = 0.92 \text{ МГц/В}$ , в то время как в первой области взаимодействия она более чем в пять раз выше, а во второй в 2.3 раза меньше.

Для анализа физических явлений, лежащих в основе изменения дисперсионных характеристик ГДИ в областях взаимодействия колебаний, построим диаграмму Вина [3] рис. 2 в плоскости  $(f, \omega_\alpha)$ , пользуясь при этом понятием МКТ и свойством симметрии спектральных линий в окрестности МКТ [5, 6]. Ориентация диаграммы в координатах  $(f, \omega_\alpha)$  приведена в соответствие с экспериментом. Для удобства плоскость разделена на два полупространства прямой, проходящей через МКТ, которая обозначена звездочкой.

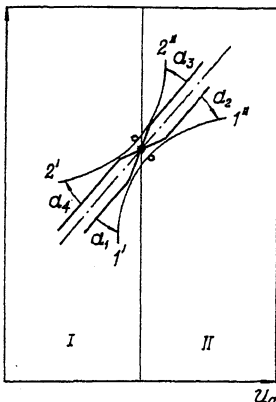


Рис. 2.

Для простоты рассмотрим полуволновый ОР с плоскими зеркалами. Взаимодействие волн в нем сопровождается суммированием противоположных векторов  $\vec{E}_x$  и  $\vec{H}_y$  в окрестности скин-слоя. При выполнении условий резонанса для обоих колебаний (состояние вырождения) совмещение пучностей магнитного поля волн, векторы плотности полного тока которых противоположны, приводит к „исчезновению“ этих векторов, т.е. к изменению их во времени  $\frac{\partial}{\partial t} \left( \frac{\partial \vec{H}_y}{\partial z} \right)$ , в результате поля волн оказываются „сшиты“ и для них состояние вырождения заменяется состоянием смешанного (междугипового) резонанса в МКТ. Смещение точки генерации для ветви  $1' - 1''$  относительно точки вырождения, обозначенной на графиках Вина кружком, в направлении второго полупространства приводит к укорочению длины волны генерации (рост  $U_a$ ), в результате условия резонанса нарушаются, пучность магнитного поля волн приподнимается над скин-слоем и в его окрестности сосредотачивается электрическое поле волны. Суммирование противоположных векторов  $\vec{E}_x$  приводит к их „исчезновению“, т.е. к изменению во времени  $\frac{\partial}{\partial t} \left( \frac{\partial \vec{E}_x}{\partial z} \right)$ , в результате реактивность

ОР изменяется, причем так, что его собственная частота уменьшается, т.е.  $\lambda$  генерации удлиняется, а ветвь дисперсионной линии поворачивается на угол  $\alpha_2$  во втором полупространстве.

Смещение генерации с точки вырождения (ветвь  $- 1' - 1''$ ) в направлении первого полупространства приводит к удлинению волны генерации (уменьшение  $U_a$ ), в окрестности скин-слоя сосредотачивается электрическое поле волны. Как и в первом случае, суммирование противоположных векторов  $\vec{E}_x$  сопровождается

появлением плотности тока смешения  $\frac{\partial}{\partial t} \left( \frac{\partial \vec{E}_x}{\partial z} \right)$ , в результате реактивность ОР изменяется, причем так, что его собственная частота увеличивается,  $\lambda$  генерации укорачивается, а ветвь дисперсионной линии поворачивается на угол  $\alpha_4$ , но уже в первом полупространстве. Видно, что при этом спектральные линии переходят из одного полупространства в другое, избегая вырождения, наблюдается „сшивание“ линий через МКТ и обусловленные этим изгибы.

Таким образом, суммирование векторов электромагнитного поля приводит к образованию в ОР плотности токов смешения, которые изменяют собственную частоту этого резонатора. При условии взаимодействия волн только с противоположными векторами и отсутствии токов проводимости для области взаимодействия уравнения Максвелла можно записать в следующем виде:

$$\text{rot } \vec{E} = -\mu \mu_0 \frac{\partial}{\partial t} \left( \frac{\partial \vec{H}}{\partial z} \right), \quad (1)$$

$$\text{rot } \vec{H} = \epsilon \epsilon_0 \frac{\partial}{\partial t} \left( \frac{\partial \vec{E}}{\partial z} \right). \quad (2)$$

Как видно из рис. 2, сшивание спектральных линий на пути 1'-2'' сопровождается сложением приращения частоты от междугипового взаимодействия (приращение собственной частоты свободных колебаний ОР) и от воздействия анодного напряжения, в результате крутизна электронного смешения частоты увеличивается. Такому режиму ГДИ на рис. 1 соответствует первая область, где наблюдается увеличение  $S_3$ . На пути 2'-1'' указанные приращения имеют противоположные знаки и колебательная система стремится сохранить частоту генерации постоянной, т.е. наблюдается режим автостабилизации. В эксперименте автостабилизация наблюдается в диапазоне изменения анодного напряжения  $\Delta U_a = 5$  В.

Таким образом, здесь впервые продемонстрирована возможность автостабилизации частоты в автогенераторах с высокодобротными собственными колебательными системами путем создания вблизи МКТ междугиповых колебаний ОР ГДИ. При этом также продемонстрирована возможность „сшивать“ поля электромагнитных колебаний без провалов и потерь выходной мощности.

#### Список литературы

- [1] Шестopalов В.П. Дифракционная электроника. Харьков. Выща школа, 1976. 231 с.

- [2] В ам бер ск ий М.В., К азаниев В.И., Ш елу-  
хин С.А. Передающие устройства СВЧ. М.: Высшая  
школа, 1985. 145 с.
- [3] Ш тейншл ейгер В.Б. Явления взаимодействия волн  
в электромагнитных резонаторах. М.: Оборонгиз, 1955.  
114 с.
- [4] Кури н В.Г., С крын ник Б.К., Ш естопа-  
лов В.П. // ДАН СССР. 1991. Т. 327, В. 1.  
С. 93-95.
- [5] М ележик П.Н., Поединчук В.П., Т уч-  
кин Ю.А., Ш естопалов В.П. // ДАН СССР.  
1988. Т. 300. В. 6. С. 1356-1359.
- [6] Ш естопалов В.П., Сиренко Ю.К. Динамиче-  
ская теория решеток. Киев: Наукова думка.

Институт  
радиофизики  
и электроники  
АН Украины,  
Харьков

Поступило в Редакцию  
23 марта 1992 г.  
В окончательной редакции  
3 июля 1992 г.